

ФЛЮОРИТОВЫЕ ТВЕРДЫЕ РАСТВОРЫ КОНГРУЭНТНОГО ХАРАКТЕРА ПЛАВЛЕНИЯ В СИСТЕМАХ $\text{PbF}_2\text{--CdF}_2\text{--RF}_3$

© 2024 г. И. И. Бучинская^{1,*}, П. П. Федоров²

¹Институт кристаллографии им. А. В. Шубникова Курчатовского комплекса кристаллографии и фотоники
НИЦ “Курчатовский институт”, Москва, Россия

²Федеральный исследовательский центр “Институт общей физики им. А. М. Прохорова РАН”, Москва, Россия

*E-mail: buchinskayii@gmail.com

Поступила в редакцию 08.12.2023 г.

После доработки 13.01.2024 г.

Принята к публикации 13.01.2024 г.

На основе термодинамико-топологического анализа определены составы конгруэнтного характера плавления в системах $M\text{F}_2\text{--}M'\text{F}_2\text{--RF}_3$ ($M \neq M' = \text{Ca}, \text{Sr}, \text{Cd}, \text{Ba}, \text{Pb}$, R = редкоземельные элементы, РЗЭ). Методом вертикальной направленной кристаллизации выращены кристаллы флюоритового твердого раствора в системах $\text{PbF}_2\text{--CdF}_2\text{--RF}_3$ ($R = \text{Tb}, \text{Ho}, \text{Er}, \text{Tm}, \text{Yb}, \text{Lu}$). Исследованы их фазовый состав и распределение компонентов по длине кристаллической були. Кристаллы конгруэнтно-плавящихся твердых растворов $(\text{Pb}_{0.67}\text{Cd}_{0.33})_{1-x}R_x\text{F}_{2+x}$ ($R = \text{Tb}, \text{Ho}, \text{Er}, \text{Tm}, \text{Yb}, \text{Lu}$) выращены впервые. В кристаллах с $R = \text{Ho}, \text{Er}, \text{Tm}$ и Yb обнаружены следы низкотемпературного превращения – фазы, изоструктурной соединению Pb_2YF_7 (пр. гр. $I4/m$), в которой позиции Y занимают соответствующие катионы R , а позиции Pb могут быть частично замещены катионами Cd. Кристаллы с $R = \text{Tb}$ и Lu имеют высокую степень однородности и пригодны для оптических исследований.

DOI: 10.31857/S0023476124020194, EDN: YRZKEG

ВВЕДЕНИЕ

Дифториды металлов $M\text{F}_2$, легированные ионами редкоземельных элементов (РЗЭ, R), имеют важное практическое значение в различных областях науки и техники: лазерные среды [1–3], сцинтилляторы [4–7], люминофоры [8–10], материалы оптической памяти [11], оптические термометры [12–14], материалы для коротковолновой фотолитографии [15], фтор-ионные твердые электролиты [16–24] и радиаторы черенковского излучения [25].

Твердые растворы $M_{1-x}R_x\text{F}_{2+x}$ имеют частично разупорядоченную кристаллическую структуру. Этим обусловлены основные отличия их физических свойств от свойств упорядоченных кристаллов. Основным преимуществом твердых растворов является возможность плавного варьирования их свойств в зависимости от состава, при этом сохраняется высокая изоморфная емкость структурного типа флюорита по отношению к большинству катионов, особенно к катионам РЗЭ активаторного типа.

В связи с исчерпанием возможностей одинарных и большинства двойных систем как источников новых материалов, требуется переход к многокомпонентным системам. Если предположить, что число практически значимых неорганических

фторидов составляет около трех десятков (фториды трехвалентных Ln, Y, Sc, In, Bi; двухвалентных Mg, Ca, Sr, Ba, Cd, Pb; одновалентных Li, Na, Rb, K; а также четырехвалентных Zr и Hf), то они могут составлять около 400 двойных систем, более 3 тыс. тройных и более 20 тыс. четверных систем. Очевидно, что экспериментальное исследование такого количества систем невозможно. Поэтому актуальны разработка и применение методов прогнозирования и быстрого изучения фазовых равновесий в тройных и многокомпонентных системах.

При увеличении количества компонентов возрастают трудности получения кристаллов оптического качества, так как в большинстве своем твердые растворы плавятся инконгруэнтно. Это приводит к неоднородности состава по длине (коэффициенты распределения примесей отличны от единицы) и диаметру кристалла (концентрационное переохлаждение на фронте кристаллизации). По эмпирическому правилу Багдасарова [26] при увеличении числа компонентов на единицу скорость кристаллизации, необходимая для получения качественного кристалла, уменьшается на порядок [27]. Поэтому особый интерес вызывают многокомпонентные твердые растворы с конгруэнтным характером плавления, которым отвечают

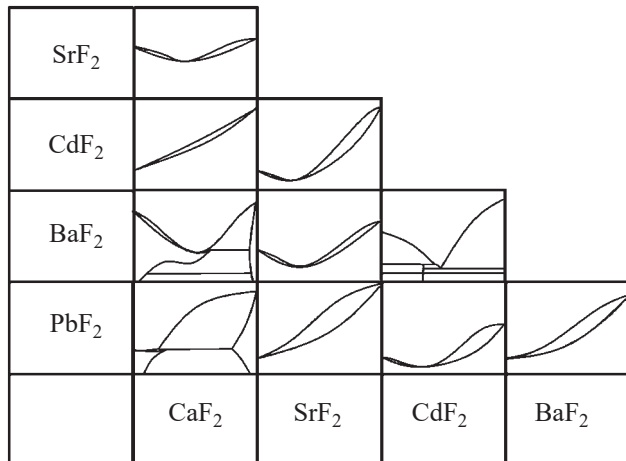


Рис. 1. Блок-схема диаграмм состояния бинарных систем, образованных флюоритовыми дифторидами щелочноземельных металлов, MF_2-MF_2 ($M = Ca, Sr, Cd, Ba, Pb$).

стационарные точки на диаграммах состояния и на которые это правило не распространяется.

Вопросы существования стационарных точек в двойных и многокомпонентных системах детально проработаны для равновесия жидкость–пар, так как этого требовали процессы дистилляции и ректификации [28, 29]. Термодинамико-топологический подход позволяет провести полную аналогию между равновесиями жидкость–пар и жидкость–твердое для твердых растворов [27, 30–32]. В системах $MF_2-M'F_2$ ($M \neq M' = Ca, Sr, Cd, Ba, Pb$) при изоморфном замещении образуются твердые растворы $M_{1-x}M'_xF_2$ флюоритовой структуры. Они удовлетворительно описываются моделью регулярных растворов. При условии, что теплота смешения компонентов в твердой фазе больше, чем в жидкой, эта модель дает общее решение в виде стационарной точки минимума на линиях ликвидуса и солидуса (аналога положительного азеотропа для равновесия жидкость–пар). Из схемы на рис. 1 можно видеть, что точка температурного минимума реализуется в четырех таких системах, а именно CaF_2-SrF_2 , BaF_2-SrF_2 , CdF_2-SrF_2 и PbF_2-CdF_2 . Образуемые ими две тройные системы $PbF_2-CdF_2-SrF_2$ и $CdF_2-SrF_2-CaF_2$ интересны тем, что состоят из сплошного поля флюоритового твердого раствора. Флюоритовый твердый раствор в системе $PbF_2-CdF_2-SrF_2$ был исследован в [33]. К сожалению, тройной минимум в этой системе не реализуется. Перспективной с точки зрения однородности выращиваемых монокристаллов можно считать область твердых растворов в системе $BaF_2-SrF_2-CaF_2$, хотя она ограничена [34].

При гетеровалентном изоморфизме в системах MF_2-RF_3 ($M = Ca, Sr, Cd, Ba, Pb$) образуются

обширные области флюоритовых твердых растворов $M_{1-x}R_xF_{2+x}$ со стационарными точками типа максимумов на кривых плавления [35–37], аналогичных отрицательному азеотропу для равновесия жидкость–пар. Во многих системах MF_2-RF_3 происходит термическая стабилизация (повышение температуры плавления) нестехиометрических флюоритовых фаз за счет повышения плотности упаковки структуры по сравнению с чистым компонентом MF_2 . С повышением температуры дефектность (и энтропия взаимодействия) твердых растворов возрастает, также возрастают электростатические взаимодействия, приводящие к образованию ассоциаций разнозаряженных дефектов [38, 39]. С другой стороны, повышение дефектности и кластеризации приводят к образованию упорядоченных фаз в субсолидусной области твердых растворов, что ограничивает возможности получения или эксплуатации кристаллов.

В тройных системах типа $MF_2-M'F_2-RF_3$ возможно существование трех типов стационарных точек: минимумов – устойчивых узлов, в которых сходятся линии кристаллизации; максимумов – неустойчивых узлов, от которых линии кристаллизации берут начало; и седел, вблизи которых линии кристаллизации ведут себя гиперболически (кроме двух линий – сепаратрис, проходящих через седловинную точку). На практике тройные минимумы и максимумы в исследованных системах не реализуются, а существование седел вероятно при наличии одного минимума и одного или двух максимумов в двойных ограничивающих системах.

Применение математического метода топологического анализа к реальным химическим системам позволяет качественно спрогнозировать ход кристаллизационных линий (нарисовать фазовый портрет системы). Этот метод, дополненный термодинамическими ограничениями, назван термодинамико-топологическим, а его применение позволяет значительно сократить количество систем, пригодных для поиска стационарных точек.

Твердые растворы с тремя типами стационарных точек схематически показаны на рис. 2. Все виды кристаллизационных поверхностей в трехкомпонентных системах рассмотрены в [27].

Термодинамико-топологический анализ уже был ранее успешно применен для прогнозирования стационарных точек в тройных и одной четверной системах. Седловинные точки хорошо известны для равновесия жидкость–пар, но практически не были известны для равновесия твердое–жидкость до проведения работ [27, 40]. Теоретически спрогнозировано и экспериментально (посредством дифференциально-термического анализа (ДТА) и направленной кристаллизации) подтверждено существование большого количества седловинных точек, образующихся при наличии

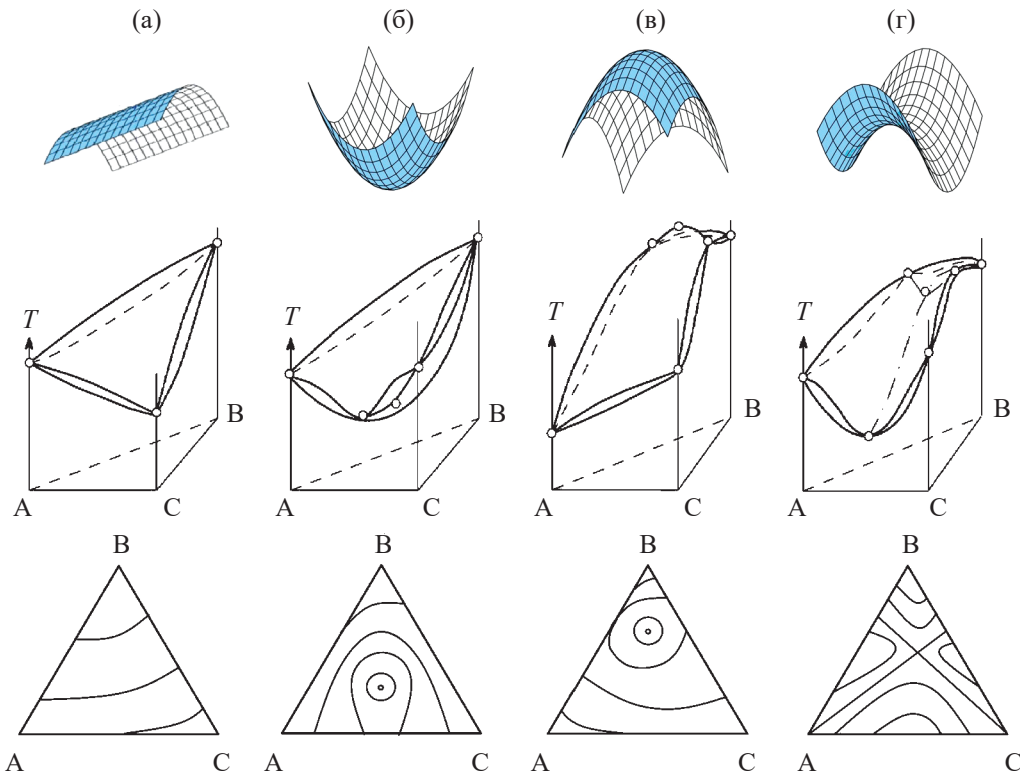


Рис. 2. Основные типы диаграмм состояния жидкость—твердое вещество для тройных систем с непрерывными твердыми и жидкими растворами: в отсутствие конгруэнтных точек на поверхностях плавления (а) и при их наличии — максимум (б), минимум (в) и седло (г). В верхнем ряду схематически показаны формы поверхностей, в среднем — общий вид T - x -диаграмм, в нижнем — проекции поверхности ликвидуса (линии — изотермы).

в ограничивающих двойных системах одного минимума и двух максимумов.

Седловинные точки были обнаружены в нескольких рядах систем MF_2 — $M'F_2$ — RF_3 : в CaF_2 — SrF_2 — RF_3 экспериментально найдены для $R = La, Nd, Yb$ и спрогнозированы для ряда остальных R (рис. 3а), в SrF_2 — BaF_2 — RF_3 экспериментально найдены для La и Yb и спрогнозированы для ряда R , кроме Lu (рис. 3б), в PbF_2 — CdF_2 — RF_3 найдены для $R = Er, Lu$ и спрогнозированы для $R = Tb, Dy, Ho, Tm, Yb, Y$ [27, 40, 41]. В последнем ряду систем координаты седловинных точек не были точно определены. Два исследованных методом ДТА разреза — $Cd_{0.67}Pb_{0.33}F_2$ — ErF_3 и $Cd_{0.67}Pb_{0.33}F_2$ — LuF_3 [40, 41] — практически являются квазибинарными. Это позволяет сделать вывод, что координаты седловинных точек достаточно хорошо локализованы для этих двух систем и в остальных тройных системах лежат на разрезе $Cd_{0.67}Pb_{0.33}F_2$ — RF_3 . В качестве первого приближения их координаты можно определить как пересечение этого разреза и прямой, соединяющей максимумы в системах PbF_2 — RF_3 ($R = Tb$ — Lu) [36] с соответствующими максимумами в системах CdF_2 — RF_3 ($R = Tb$ — Er) или вершиной RF_3 ($R = Tm, Yb, Lu$) [37]. Однако если

экстраполировать их положение в соответствии с системами с ErF_3 и LuF_3 , можно сделать вывод, что седловинные точки сдвинуты в область больших концентраций RF_3 , а радиус кривизны дуг, пересекающих прямую $Cd_{0.67}Pb_{0.33}F_2$ — RF_3 , увеличивается от Tb к Lu . Определенные в таком приближении положения седловинных точек показаны на рис. 3в.

На основе обнаруженных в системах CaF_2 — SrF_2 — RF_3 и SrF_2 — BaF_2 — RF_3 стационарных седловинных точек были выращены монокристаллы высокой степени однородности [41, 42]. В табл. 1 (столбцы 2, 3) приведены некоторые параметры конгруэнтно-плавящихся кристаллов из этих систем. Жирным шрифтом выделены составы неокрашенных кристаллов. Остальные кристаллы имеют полосы поглощения в соответствующих областях спектра, что неприемлемо для оптических применений. Видно, что не так много найдется неокрашенных кристаллов с конгруэнтным характером плавления, которые можно рекомендовать для оптических матриц.

Несмотря на то что фториды свинца и кадмия токсичны, они востребованы как компоненты функциональных материалов [11, 43–48] из-за своих уникальных физических свойств (высокие плотность и показатель преломления, особенности

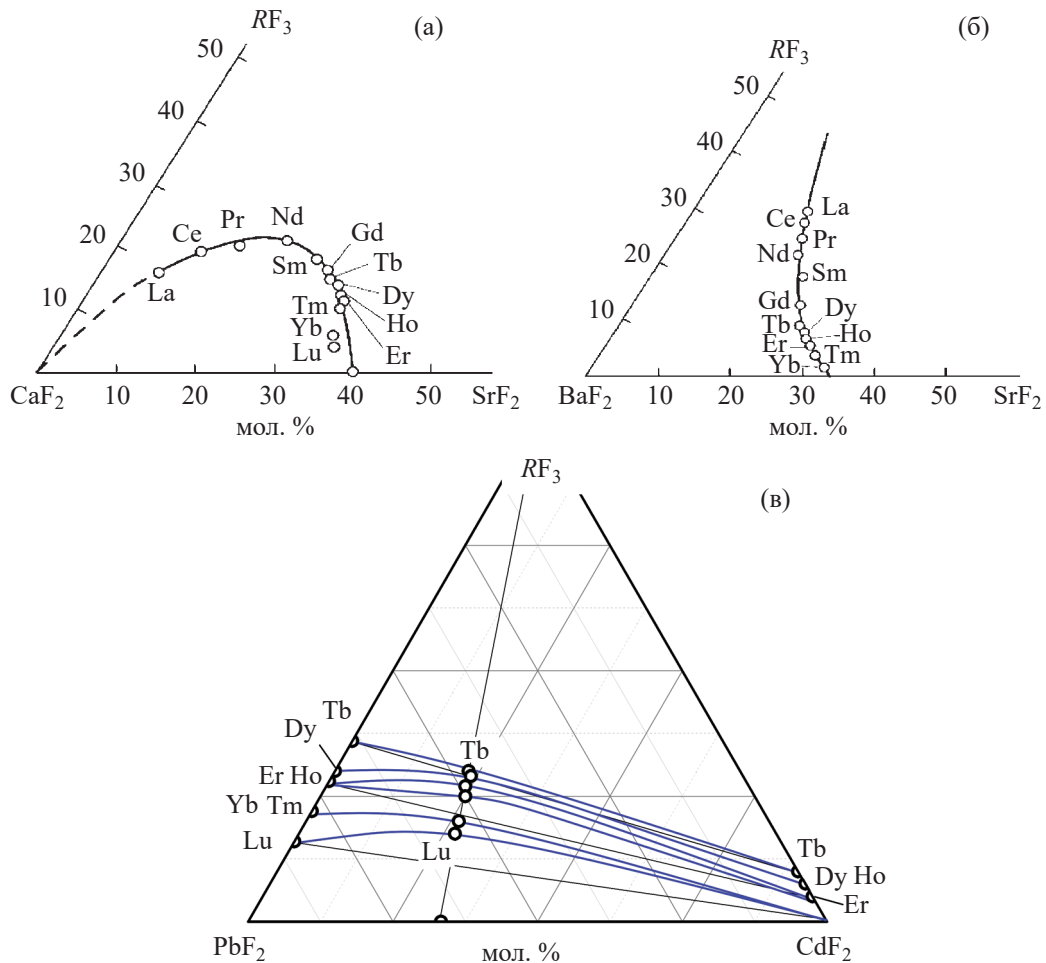


Рис. 3. Составы седловинных точек на концентрационных треугольниках для рядов систем CaF₂–SrF₂–RF₃ (а), BaF₂–SrF₂–RF₃ (б) и PbF₂–CdF₂–RF₃ (в).

зонной структуры). К тому же твердый раствор состава минимума Cd_{0.67}Pb_{0.33}F₂ является одним из лучших фтор-ионных проводников [23, 24], а также радиатором черенковского излучения [25]. Не исключено, что тройные конгруэнтные кристаллы будут иметь улучшенные характеристики электропроводности. Таким образом, новые кристаллические материалы могут представлять интерес для разных областей физики твердого тела.

Практическая цель настоящей работы – выращивание кристаллов из собственного расплава тройных флюоритовых твердых растворов в системах PbF₂–CdF₂–RF₃ с R = Tb, Ho, Er, Tm, Yb и Lu, составы которых обозначены выше (рис. 2в) и приведены в табл. 1 (столбец 4), а также последующая оценка их однородности.

МЕТОДИКА ЭКСПЕРИМЕНТА

Кристаллы выращивали из расплава методом вертикальной направленной кристаллизации

в двухзонной печи сопротивления в графитовом тепловом узле во фторирующей атмосфере (смесь He + CF₄). Методика детально изложена в [49–51]. В качестве исходных реагентов были взяты коммерческие порошки PbF₂, CdF₂ и RF₃ (99.99%, Химкрафт, г. Калининград, Россия), которые предварительно сушили в вакууме в течении 2 ч при 150°C, затем переплавляли и очищали методом направленной кристаллизации во фторирующей атмосфере. Градиент температуры в зоне роста составлял ~80 град/см, скорость вытягивания тигля ~6 мм/ч, скорость охлаждения кристалла 100 град/ч. В процессе кристаллизации использовали многоячейственные графитовые тигли открытого типа.

Рентгенофазовый анализ (РФА) проводили на порошковом дифрактометре Rigaku MiniFlex 600 (CuK_α-излучение). Регистрация в диапазоне углов $2\theta = 5^\circ - 120^\circ$. Идентификацию фаз осуществляли с помощью базы данных ICDD PDF-2 (2017). Параметры элементарных ячеек в пр. гр. Fm $\bar{3}m$ рассчитывали с помощью программы DICVOL-91 [52]

Таблица 1. Данные для конгруэнтно плавящихся кристаллов твердых растворов на основе дифторидов щелочноземельных металлов

<i>R</i>	Состав, <i>M</i> , г/моль; <i>a</i> , Å; ρ , г/см ³	
La	$\text{Ca}_{0.77}\text{Sr}_{0.07}\text{La}_{0.16}\text{F}_{2.16}$ 100.28; 5.569; 3.86	$\text{Sr}_{0.16}\text{Ba}_{0.54}\text{La}_{0.30}\text{F}_{2.30}$ 173.55; 6.037; 5.24
Ce	$\text{Ca}_{0.70}\text{Sr}_{0.11}\text{Ce}_{0.19}\text{F}_{2.19}$ 105.94; 5.592; 4.02	$\text{Sr}_{0.17}\text{Ba}_{0.555}\text{Ce}_{0.275}\text{F}_{2.275}$ 172.87; 6.031; 5.24
Pr	$\text{Ca}_{0.65}\text{Sr}_{0.15}\text{Pr}_{0.20}\text{F}_{2.20}$ 109.19; 5.595; 4.14	$\text{Sr}_{0.185}\text{Ba}_{0.565}\text{Pr}_{0.25}\text{F}_{2.25}$ 171.77; —; —
Nd	$\text{Ca}_{0.58}\text{Sr}_{0.21}\text{Nd}_{0.21}\text{F}_{2.21}$ 113.93; 5.592; 4.33	$\text{Sr}_{0.20}\text{Ba}_{0.58}\text{Nd}_{0.22}\text{F}_{2.22}$ 171.08; —; —
Sm	$\text{Ca}_{0.56}\text{Sr}_{0.26}\text{Sm}_{0.18}\text{F}_{2.18}$ 113.72; —; —	$\text{Sr}_{0.22}\text{Ba}_{0.60}\text{Sm}_{0.18}\text{F}_{2.18}$ 170.15; —; —
Gd	$\text{Ca}_{0.56}\text{Sr}_{0.28}\text{Gd}_{0.16}\text{F}_{2.16}$ 113.18; 5.597; 4.29	$\text{Sr}_{0.23}\text{Ba}_{0.64}\text{Gd}_{0.13}\text{F}_{2.13}$ 168.95; 6.037; 5.10
Tb	$\text{Ca}_{0.56}\text{Sr}_{0.29}\text{Tb}_{0.14}\text{F}_{2.145}$ 112.09; 5.588; 4.27	$\text{Sr}_{0.26}\text{Ba}_{0.65}\text{Tb}_{0.09}\text{F}_{2.09}$ 166.05; 6.045; 4.99
Dy	$\text{Ca}_{0.555}\text{Sr}_{0.305}\text{Dy}_{0.14}\text{F}_{2.14}$ 112.38; —; —	$\text{Sr}_{0.27}\text{Ba}_{0.67}\text{Dy}_{0.07}\text{F}_{2.07}$ 165.00; —; —
Ho	$\text{Ca}_{0.56}\text{Sr}_{0.32}\text{Ho}_{0.12}\text{F}_{2.12}$ 110.56; 5.593; 4.18	$\text{Sr}_{0.28}\text{Ba}_{0.66}\text{Ho}_{0.06}\text{F}_{2.06}$ 164.20; 6.049; 4.93
Er	$\text{Ca}_{0.56}\text{Sr}_{0.325}\text{Er}_{0.115}\text{F}_{2.115}$ 107.08; 5.578; 4.22	$\text{Sr}_{0.29}\text{Ba}_{0.66}\text{Er}_{0.05}\text{F}_{2.05}$ 163.35; 6.050; 4.90
Tm	$\text{Ca}_{0.57}\text{Sr}_{0.33}\text{Tm}_{0.10}\text{F}_{2.10}$ 108.56; 5.581; 4.15	$\text{Sr}_{0.30}\text{Ba}_{0.66}\text{Tm}_{0.04}\text{F}_{2.04}$ 162.44; 6.066; 4.83
Yb	$\text{Ca}_{0.60}\text{Sr}_{0.34}\text{Yb}_{0.06}\text{F}_{2.06}$ 103.36; 5.571; 3.96	$\text{Sr}_{0.325}\text{Ba}_{0.645}\text{Yb}_{0.03}\text{F}_{2.03}$ 160.81; 6.0435; 4.84
Lu	$\text{Ca}_{0.61}\text{Sr}_{0.35}\text{Lu}_{0.04}\text{F}_{2.04}$ 100.88; —; —	$\text{Pb}_{0.49}\text{Cd}_{0.24}\text{Yb}_{0.27}\text{F}_{0.27}$ 218.35; 5.6981(2); 7.84
		$\text{Pb}_{0.50}\text{Cd}_{0.25}\text{Lu}_{0.25}\text{F}_{0.25}$ 218.19; 5.6928(2); 7.85

Примечание. *M* – молекулярная масса, *a* – параметр элементарной ячейки, ρ – рентгеновская плотность.

и уточняли полнопрофильным анализом по Ле Бэйлю с использованием программы Jana2006 [53].

Элементный состав образцов, вырезанных из кристаллических буль, контролировали методом рентгенофлуоресцентного анализа (РФЛА) на микроанализаторе Orbis (EDAX, США).

Однородность образцов исследовали с помощью оптического микроскопа ПОЛАМ Л-213М (Россия).

РЕЗУЛЬТАТЫ И ИХ ОБСУЖДЕНИЕ

Работа с фторидами свинца и кадмия затруднена из-за их токсичности, высокой летучести и меньшей химической стойкости по сравнению с другими дифторидами. Даже из-за небольших потерь PbF_2 и CdF_2 в процессе кристаллизации может происходить сдвиг состава кристалла в сторону RF_3 . Для выращивания кристаллов нелетучих неорганических фторидов с близкими температурами плавления допустимо использовать многоячеистый

тигель. В данном случае температуры плавления конгруэнтных составов с *R* = Tb, Ho, Er, Tm, Yb и Lu находятся в диапазоне $\sim 830\text{--}1000^\circ\text{C}$. Поэтому было выполнено несколько ростовых экспериментов с разными группами составов. Из-за трудоемкости эксперимента не использовали индивидуальные тигли и индивидуальные условия кристаллизации для каждого состава. Чтобы минимизировать потери и предотвратить изменение состава кристаллизацию осуществляли под избыточным давлением инертного газа 45–50 кПа. В результате нескольких серий экспериментов выращены кристаллические були диаметром 5 и 10 мм и длиной от 15 до 50 мм, примеры которых приведены на рис. 4. Из них были вырезаны продольные и попечевые пластины и отполированы для оптического просмотра.

Для исследования распределения компонентов по длине слитков использовали метод РФЛА, так как он является неразрушающим и достаточно хорошо определяет тяжелые элементы. Состав

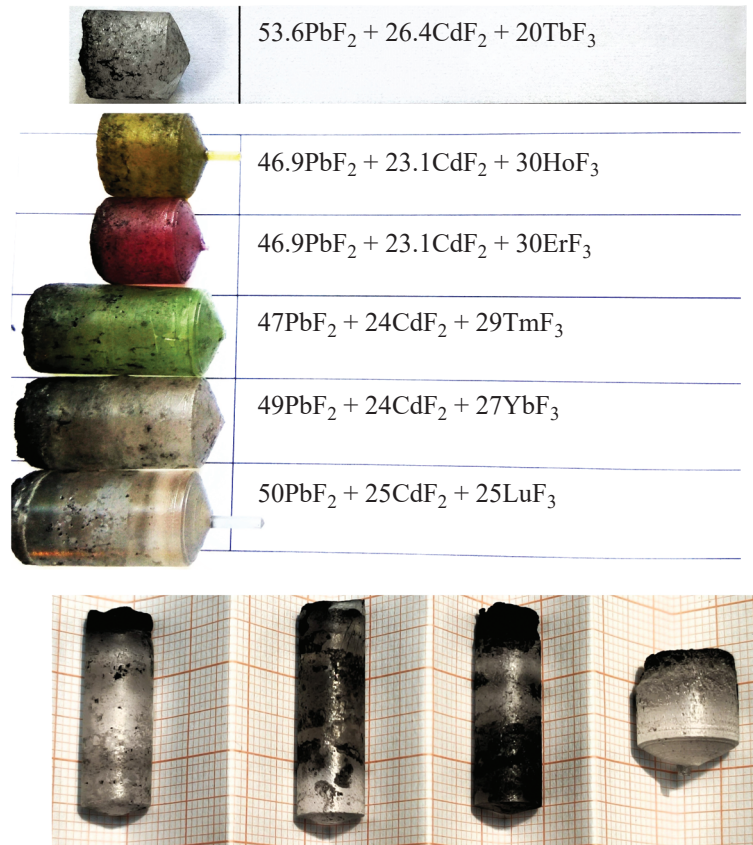


Рис. 4. Пример кристаллических буль “as grown”.

определяли с шагом 2 мм по продольному спилу кристаллической були.

Продольная однородность. Полученные результаты показаны на рис. 5. Максимальную однородность демонстрирует кристалл $Pb_{0.50}Cd_{0.25}Lu_{0.25}F_{0.25}$. Значительный однородный участок у кристалла $Pb_{0.536}Cd_{0.264}Tb_{0.20}F_{0.20}$. Из-за непропорционального испарения компонентов к концу кристаллической були наблюдается смещение состава в сторону RF_3 независимо от коэффициентов распределения. Более неоднородные кристаллы являются и более напряженными, поэтому легко трескаются при обработке.

Поперечная однородность многокомпонентных кристаллов обусловлена устойчивостью фронта кристаллизации к концентрационному переохлаждению. Потеря устойчивости приводит к образованию ячеистой субструктуры в кристаллах [54]. Критерий устойчивости фронта кристаллизации в бинарных системах выражается обобщенным критерием Тиллера:

$$GD/V \geq m\Delta x, \quad (1)$$

где G – градиент температуры, V – скорость затвердевания, D – коэффициент диффузии, m – тангенс

угла наклона ликвидуса, Δx – скачок концентрации на границе раздела жидкость–твердое. Этот критерий выводится из граничного условия на границе раздела кристалл–расплав, а также применим к нестационарным процессам. Для подавления концентрационного переохлаждения соотношение GD/V должно превышать некоторое критическое значение; т.е. необходимо снизить скорости затвердевания и (или) увеличить температурные градиенты, что возможно лишь до определенного предела. Введение функции устойчивости для тройных систем по аналогии с двойными невозможно, так как диффузионная траектория, выравнивающая концентрации в расплаве после их скачка на границе жидкость–твердое в результате $k_i \neq 1$, не совпадает с конодой поступающего равновесия на этой границе. Однако общая схема возникновения концентрационного переохлаждения в трехкомпонентных твердых растворах такая же, как в двухкомпонентных.

В условиях данного эксперимента для кристаллов, выращенных при скорости опускания тигля $V = 6$ мм/ч и $G = 80$ град/см, ячеистая субструктура в оптическом микроскопе не фиксируется. При переходе к скорости $V = 11$ мм/ч появляется слабая визуальная неоднородность.

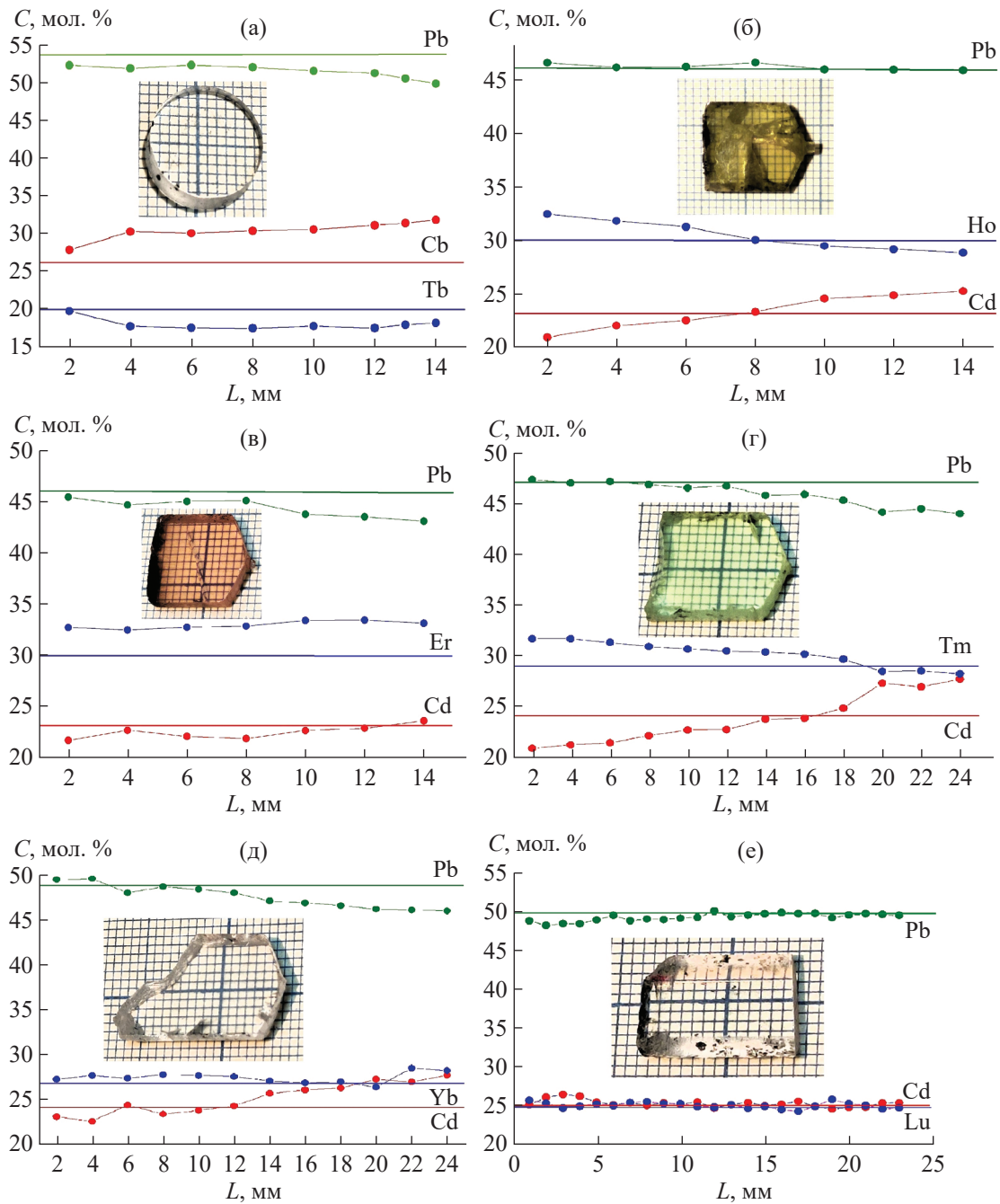


Рис. 5. Распределение катионов по длине кристаллических буль для $R = \text{Tb}$ (а), Ho (б), Er (в), Tm (г), Yb (д) и Lu (е). На вставках показаны примеры пластин, вырезанных из кристаллов и просветленных для оптического просмотра.

Из сказанного выше можно сделать вывод, что выбранные составы близки к седловинным точкам, отвечающим конгруэнтному плавлению твердых растворов сложного состава.

Образцы, вырезанные из средних частей кристаллов, исследовали с помощью РФА, дифрактограммы приведены на рис. 6а. Основной фазой во всех образцах является кубическая, проиндциро-

ванная в пр. гр. $Fm\bar{3}m$. В образцах с $R = \text{Ho}$, Er , Tm , Yb фиксируются следы примесной фазы, которая, по всей вероятности, образуется в результате частичного распада твердого раствора при охлаждении. При гетервалентном изоморфном замещении M^{2+} на R^{3+} увеличивается концентрация структурных дефектов, которые при низких температурах формируют упорядоченные фазы. Примесная фаза

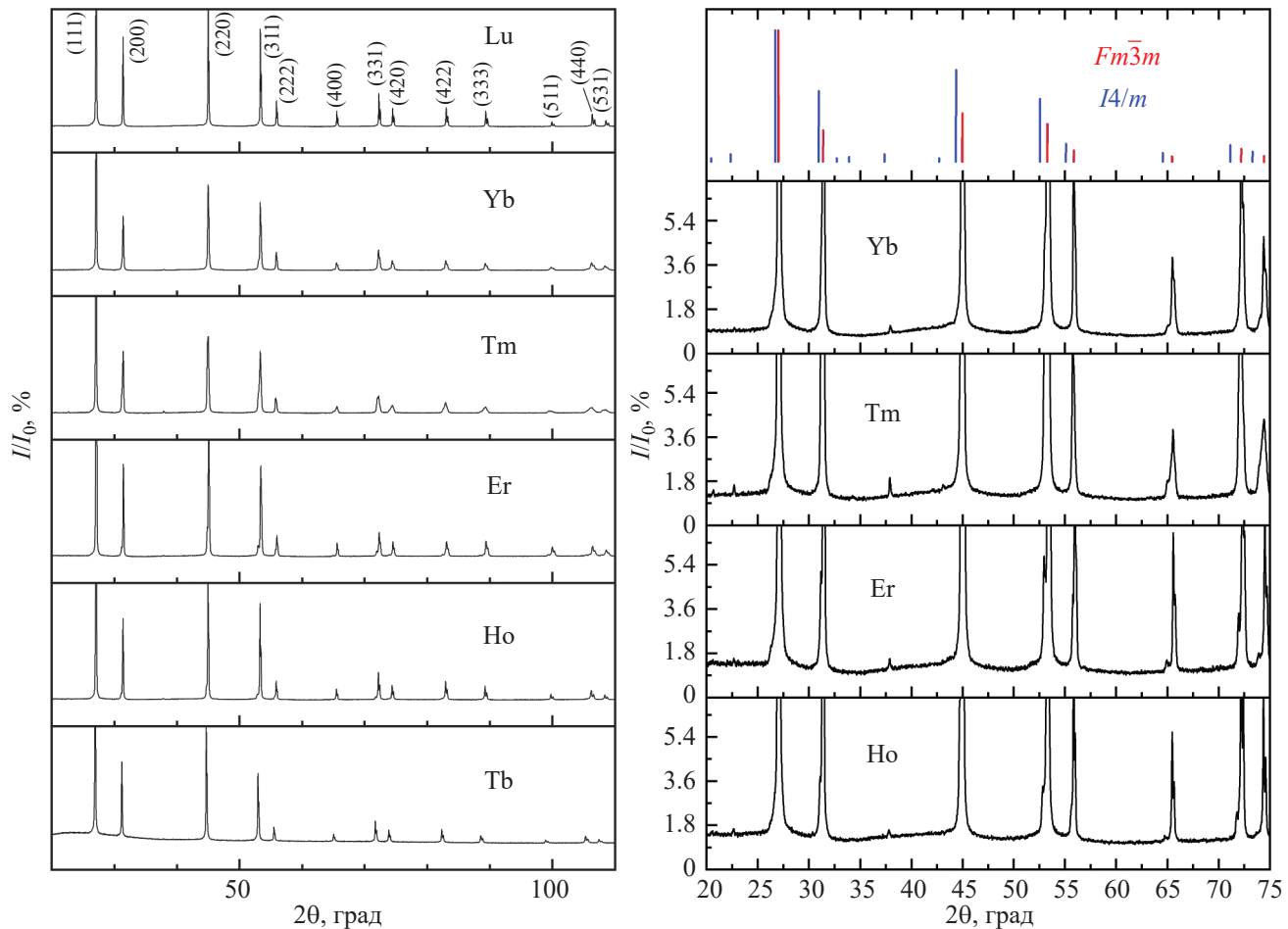


Рис. 6. Общая картина дифрактограмм $\text{Pb}_{1-x-y}\text{Cd}_x\text{Y}_y\text{F}_{2+y}$ ($R = \text{Tb}, \text{Ho}-\text{Lu}$) (а). Увеличенная область дифрактограмм вблизи фона для $R = \text{Ho}-\text{Yb}$ (б). Сверху показаны штрих-диаграммы соединения Pb_2YF_7 (пр. гр. $I4/m$), PDF № 00-037-1116, и кубической фазы образца $\text{Pb}_{0.49}\text{Cd}_{0.24}\text{Yb}_{0.27}\text{F}_{0.27}$ (пр. гр. $Fm\bar{3}m$).

изоструктурна соединению Pb_2YF_7 (пр. гр. $I4/m$) [55], в котором позиции Y занимают соответствующие катионы R , а позиции Pb могут быть частично замещены катионами Cd. При этом оптическая микроскопия не выявила никаких ограниченных включений. На рис. 6б детально показаны дифрактограммы неоднофазных образцов. Основные рефлексы фаз $I4/m$ и $Fm\bar{3}m$ накладываются. Низкотемпературные превращения делают найденные конгруэнтные составы бесполезными для оптических приложений. Кристаллы с $R = \text{Tb}$ и Lu не имеют следов распада. Они также являются неравновесными при комнатной температуре, но могут быть стабильными очень продолжительное время. Эти кристаллы могут представлять интерес в качестве матриц для легирования активными ионами РЗЭ.

ЗАКЛЮЧЕНИЕ

Впервые выращены кристаллы составов $(\text{Pb}_{0.67}\text{Cd}_{0.33})_{1-x}\text{R}_x\text{F}_{2+x}$ ($R = \text{Tb}, \text{Ho}-\text{Lu}$) с конгру-

энтным характером плавления. В кристаллах с $R = \text{Ho}-\text{Yb}$ обнаружены следы распада с выделением фазы, изоструктурной Pb_2YF_7 (пр. гр. $I4/m$). Кристаллы с $R = \text{Tb}$, Lu однофазны, однородны и пригодны для оптических исследований и практического применения. Возможность получения кристаллов конгруэнтных составов в рассмотренных системах осложнена высокой летучестью компонентов PbF_2 и CdF_2 . Чтобы предотвратить потерю вещества, кристаллы в этих системах следует выращивать в герметичном тигле (ампуле) под избыточным давлением.

Несмотря на перечисленные ограничения, настоящее исследование открывает путь к созданию новых перспективных многокомпонентных материалов с контролируемыми фундаментальными свойствами.

Планируется исследовать механические и кондуктометрические свойства выращенных кристаллов, а также оптические для $\text{Pb}_{0.536}\text{Cd}_{0.264}\text{Tb}_{0.20}\text{F}_{0.20}$

и $Pb_{0.50}Cd_{0.25}Lu_{0.25}F_2$, проверить возможность введения дополнительных компонентов – легирование активными ионами. Также планируется вырастить и исследовать кристаллы твердых растворов в системах $PbF_2-CdF_2-RF_3$ с $R = Gd, Dy, Y$ и Sc .

Работа выполнена в рамках государственного задания НИЦ “Курчатовский институт” с использованием оборудования Центра коллективного пользования ФНИЦ “Кристаллография и фотоника” РАН.

СПИСОК ЛИТЕРАТУРЫ

- Mouchovski J.T., Temelkov K.A., Vuchkov N.K.* // Prog. Cryst. Growth Characteriz. Mater. 2011. V. 57. P. 1. <https://doi.org/10.1016/J.PCRYSGROW.2010.09.003>
- Wu Ye-Qing, Su Liang-Bi, Xu Jun et al.* // Acta Phys. Sin. 2012. V. 61. № 17. P. 177801. <https://doi.org/10.7498/aps.61.177801>
- Kaminskii A.A.* Laser crystals, their physics and properties. Berlin: Springer-Verlag, 1991. 457p.
- Dorenbos P., Visser R., Dool et al.* // J. Phys.: Condens. Matter. 1992. V. 4. P. 5281. <https://doi.org/10.1088/0953-8984/4/23/005>
- Sobolev B.P., Krivandina E.A., Derenzo S.E. et al.* // MRS Online Proceedings Library. 1994. V. 348. P. 277. <https://doi.org/10.1557/PROC-348-277>
- Sobolev B.P.* Multicomponent Crystals Based on Heavy Metal Fluorides for Radiation Detectors. Institut d’Estudis Catalans, 1994.
- Luo J., Ye L., Xu J.* // J. Nanosci. Nanotechnol. 2016. V. 16. P. 3985. <https://doi.org/10.1166/jnn.2016.11873>
- Blasse G., Grabmaier B.C.* Luminescent Materials. Berlin; Heidelberg: Springer-Verlag, 1994. <https://doi.org/10.1007/9783-642-79017-1>
- Maurizio S.L., Tessitore G., Kramer K.W., Capobianco J.A.* // ACS Appl. Nano Mater. 2021. V. 4. P. 5301. <https://doi.org/10.1021/acsanm.1c00652>
- Madirov E., Kuznetsov S.V., Konyushkin V.A. et al.* // J. Mater. Chem. C. 2021. V. 9. P. 3493. <https://doi.org/10.1039/D1TC00104C>
- Ryskin A.I., Shcheulin A.S., Miloglyadov E.V. et al.* // J. Appl. Phys. 1998. V. 83. № 4. P. 2215. <https://doi.org/10.1063/1.366959>
- Geitenbeek R.G., Nieuwinkel A.-E., Jacobs et al.* // ACS Catal. 2018. V. 8. P. 2397. <https://doi.org/10.1021/acscatal.7b04154>
- Chen W., Cao J., Hu F. et al.* // J. Alloys Compd. 2018. V. 735. P. 2544. <https://doi.org/10.1016/j.jallcom.2017.11.201>
- Runowski M., Goderski S., Przybylska et al.* // ACS Appl. Nano Mater. 2020. V. 3. P. 6406. <https://doi.org/10.1021/acsanm.0c00839>
- John H. Burnett, Zachary H., Eric L. Shirley* // Phys. Rev. B. 2001. V. 64. P. 241102(R). <https://doi.org/10.1103/PhysRevB.64.241102>
- Wapenaar K.E.D., Van Koesveld J.L., Schoonman J.* // Solid State Ionics. 1981. V. 2. P. 145. [https://doi.org/10.1016/0167-2738\(81\)90172-7](https://doi.org/10.1016/0167-2738(81)90172-7)
- Sorokin N.I., Fedorov P.P., Sobolev B.P.* // Inorg. Mater. 1997. V. 33. № 1. P. 1.
- Preishuber-Pflügl F., Bottke P., Pregartner V. et al.* // Phys. Chem. Chem. Phys. 2014. V. 16. P. 9580. <https://doi.org/10.1039/C4CP00422A>
- Rammula K.E., Comins J.D., Erasmus R.M. et al.* // Chem. Phys. 2016. V. 467. P. 6.
- Nikolaichik V.I., Sobolev B.P., Sorokin N.I., Avilov A.S.* // Solid State Ionics. 2015. V. 10. P. 279. <https://doi.org/10.1016/j.ssi.2015.07.015>
- Nikolaichik V.I., Sobolev B.P., Sorokin N.I., Avilov A.S.* // Solid State Ionics. 2022. V. 386. P. 116052. <https://doi.org/10.1016/j.ssi.2022.116052>
- Gschwind F., Rodrigues-Garsia G., Sandbeck D.J.S. et al.* // J. Fluorine Chem. 2016. V. 182. P. 76. <https://doi.org/10.1016/j.jfluchem.2015.12.002>
- Мурин И.В., Чернов С.В.* // Изв. АН СССР. Неорган. материалы. 1982. Т. 18. С. 168.
- Kosacki I.* // Appl. Phys. A. 1989. V. 49. P. 413. <https://doi.org/10.1007/BF00615026>
- Vasil’chenko V.G., Zhumurova Z.I., Krivandina E.A. et al.* // Instrum. Exp. Tech. 2000. V. 43. С. 46. <https://doi.org/10.1007/BF02758997>
- Багдасаров Х.С.* // Кристаллохимия. Итоги науки и техники. М.: ВИНТИИ, 1987. Т. 21. С. 1.
- Федоров П.П., Бучинская И.И.* // Успехи химии. 2012. Т. 81. № 1. С. 1. <https://doi.org/10.1070/RC2012v081n01ABEH004207>
- Schreinemakers F.A.H.* // Z. Phys. Chem. 1901. V. 36. P. 413.
- Серафимов Л.А.* // Журн. физ. химии. 1970. Т. 44. № 4. С. 1021.
- Писаренко Ю.А.* // Журн. физ. химии. 2008. Т. 82. № 1. С. 1. <https://doi.org/10.1134/S0036024408010019>
- Schreinemakers F.A.H.* // Z. Phys. Chem. 1905. V. 52. P. 513.
- Серафимов Л.А.* // Журн. физ. химии. 2002. Т. 76. № 8. С. 1351.
- Buchinskaya I.I., Goryachuk I.O., Sorokin N.I. et al.* // Condens. Matter. 2023. V. 8. P. 73. <https://doi.org/10.3390/condmat8030073>
- Ушаков С.Н., Усламина М.А., Пыненков А.А. и др.* // Конденсированные среды и межфазные границы. 2021. Т. 23. № 1. С. 101. <https://doi.org/10.17308/kcmf.2021.23/3310>
- Sobolev B.P.* The Rare Earth Trifluorides: The High Temperature Chemistry of the Rare Earth Trifluorides. Institut d’Estudis Catalans, 2000.

36. *Федоров П.П.* // Журн. неорган. химии. 2021. Т. 66. № 2. С. 245.
<https://doi.org/10.31857/S0044457X21020070>
37. *Федоров П.П.* // Журн. неорган. химии. 2021. Т. 66. № 10. С. 1371.
<https://doi.org/10.31857/S0044457X21100044>
38. *Соболев Б.П.* // Кристаллография. 2012. Т. 57. № 3. С. 490.
39. *Федоров П.П., Соболев Б.П.* // Журн. неорган. химии. 1979. Т. 24. № 4. С. 1038.
40. *Федоров П.П., Бучинская И.И., Стасюк В.А., Бондарева О.С.* // Журн. неорган. химии. 1996. Т. 41. № 3. Р. 445.
41. *Стасюк В.А.* Изучение седловинных точек на поверхностях ликвидуса и солидуса в тройных системах с трифтторидами редкоземельных элементов. Дисс. ... канд. хим. наук. М.: МИТХТ, 1998.
42. *Каримов Д.Н., Комаръкова О.Н., Сорокин Н.И. и др.* // Кристаллография. 2010. Т. 55. № 3. С. 556.
<https://doi.org/10.1134/S1063774510030247>
43. *Tikhomirov V.K., Furniss D., Seddon A.B. et al.* // J. Mater. Sci. Lett. 2002. V. 21. P. 293.
<https://doi.org/10.1023/A:1017919719782>
44. *Bordj S., Satha H., Barros A. et al.* // Opt. Mater. 2021. V. 118. P. 111249.
<https://doi.org/10.1016/j.optmat.2021.111249>
45. *Fartas R., Diaf M., Martin I.R. et al.* // J. Lumin. 2020. V. 228. P. 117594.
<https://doi.org/10.1016/j.jlumin.2020.117594>
46. *Cheddadi A., Fartas R., Diaf M., Boubekri H.* // J. Lumin. 2024. V. 265. P. 120237.
<https://doi.org/10.1016/j.jlumin.2023.120237>
47. *Gerasimov K.I., Falin M.L.* // Phys. Solid State. 2009. V. 51. P. 721.
<https://doi.org/10.1134/S1063783409040118>
48. *Севостьянова Т.С., Хомяков А.В., Маякова М.Н. и др.* // Оптика и спектроскопия. 2017. Т. 123. № 5. С. 734.
<https://doi.org/10.7868/S0030403417110198>
49. *Krivandina E.A.* // Butll. Soc. Cat. Sien. 1991. V. 12. P. 393.
50. *Baldochi S.L., Morato S.P.* // Encyclopedia of Materials: Science and Technology / Eds. Buschow K.H.J. et al. Amsterdam: Elsevier Science, 2001. P. 3200.
51. *Karimov D.N., Buchinskaya I.I., Arkharova N.A. et al.* // Crystals. 2021. V. 11. № 3. P. 285.
<https://doi.org/10.3390/cryst11030285>
52. *Boulif A., Louer D.* // J. Appl. Cryst. 1991. V. 24. P. 987.
<https://doi.org/10.1107/S0021889891006441>
53. *Petríček V., Dušek M., Palatinus L.* // Z. Kristallogr. Cryst. Mater. 2014. V. 229. P. 345.
<https://doi.org/10.1515/zkri-2014-1737>
54. *Chalmers B.* Principles of Solidification Wiley Series on the Science and Technology of Materials. Publ. John Wiley and Sons, 1964. 319 p.
55. *Dib A., Aleonard S., Roux M.Th.* // J. Solid State Chem. 1984. V. 52. P. 292.
[https://doi.org/10.1016/0022-4596\(84\)90012-4](https://doi.org/10.1016/0022-4596(84)90012-4)

FLUORITE SOLID SOLUTIONS OF CONGRUENT MELTING IN THE $\text{PbF}_2\text{--CdF}_2\text{--RF}_3$ SYSTEMS

© 2024 I. I. Buchinskaya^{1,*}, P. P. Fedorov²

¹*Shubnikov Institute of Crystallography of Kurchatov Complex of Crystallography and Photonics of NRC “Kurchatov Institute,” Moscow, Russia*

²*A.M. Prokhorov General Physics Institute of the Russian Academy of Sciences, Moscow, Russia*

*Correspondence to: buchinskayii@gmail.com

Based on thermodynamic-topological analysis, the concentration regions for obtaining homogeneous crystals in the $M\text{F}_2\text{--M}'\text{F}_2\text{--RF}_3$ systems ($M\neq M'=\text{Ca, Sr, Cd, Ba}$ and Pb , $R=\text{rare earth elements, REEs}$) were determined. Fluorite solid solution crystals in the $\text{PbF}_2\text{--CdF}_2\text{--RF}_3$ systems ($R=\text{Tb, Ho, Er, Tm, Yb and Lu}$) were grown by the vertical directional crystallization technique. Their phase composition and distribution of components along the length of the crystalline boule were studied. Crystals of congruently melting solid solutions ($\text{Pb}_{0.67}\text{Cd}_{0.33})_{1-x}R_x\text{F}_{2+x}$ ($R=\text{Tb, Ho, Er, Tm, Yb, Lu}$) were grown for the first time. In crystals with $R=\text{Ho, Er, Tm}$ and Yb traces of low-temperature ordering of the solid solution were found – phase isostructural to the Pb_2YF_7 compound (sp. gr. $I4/m$), in which the Y positions are occupied by the corresponding R cations, and the Pb positions can be partially replaced Cd cations. Crystals with $R=\text{Tb}$ and Lu have a high degree of homogeneity and are suitable for optical research.